

УДК 524.63

## О радиальном движении местной системы отсчета

Л. В. Юрьевич

Из сравнения угловых скоростей молекулярных облаков, расположенных в окрестностях Солнца, выявлено дополнительное движение местной системы отсчета в направлении к антицентру Галактики со скоростью  $\Pi_0 = 6 \text{ км/с}$ . Рассматривались молекулярные облака, наблюдаемые в линиях поглощения молекулы гидроксила на частотах 1665 и 1667 МГц. Анализировались два случая: чисто круговое движение облаков и круговое движение совместно с радиальным. В первом случае получено  $\Pi_0 = 9 \text{ км/с}$ , во втором, более полно описывающем движение облаков в Галактике, —  $\Pi_0 = 6 \text{ км/с}$ . Предлагается учитывать дополнительное движение местной системы отсчета в направлении к антицентру при кинематических исследованиях Галактики.

*ON THE RADIAL MOTION OF LOCAL STANDARD OF REST, by Yurevich L. V.—* An additional LSR radial motion with velocity  $\Pi_0 = 6 \text{ km} \cdot \text{s}^{-1}$  towards the anticentre of the Galaxy has been revealed from comparison of rotational velocities of near-by molecular clouds. The molecular clouds observed at 1665 and 1667 MHz hydroxyl lines were considered. Two cases have been studied: pure circular cloud motion and circular cloud motion with radial one, the latter being more realistic case. Velocities of LSR radial motion  $\Pi_0$  are found to be 9 and 6  $\text{km} \cdot \text{s}^{-1}$ , respectively. Additional LSR radial motion with velocity  $6 \text{ km} \cdot \text{s}^{-1}$  is suggested to be taken into account for galactic studies based on the radial velocities.

**Введение.** При исследованиях движения различных галактических объектов необходимо знать вектор скорости движения системы отсчета, в которой измеряются их лучевые скорости. Обычно лучевые скорости приводятся к местному стандарту покоя (LSR), определяемому движением Солнца со скоростью 19.5 км/с в направлении с галактическими координатами  $L = 56^\circ$  и  $B = 23^\circ$ .

Анализ данных радионаблюдений, основанный на лучевых скоростях, приведенных к LSR, порой приводит к заметным расхождениям в кинематике и структуре Галактики в областях, расположенных по разные стороны относительно линии, соединяющей галактический центр и Солнце [8, 10, 11]. Такие расхождения могут быть устранены при соответствующем изменении вектора скорости местной системы отсчета, связанной с Солнцем (МСО).

Впервые на эффект неверного учета движения МСО, приводившего к расхождению кривых вращения системы галактического нейтрального водорода в I и IV галактических квадрантах и к асимметрии в расположении спиральных рукавов, обратил внимание Кэрр [10]. Для устранения отмеченных эффектов он ввел дополнительное движение МСО в направлении к антицентру Галактики со скоростью  $\Pi_0 = 7 \text{ км/с}$ . Впоследствии задача уточнения этого движения рассматривалась многими исследователями, однако их результаты дают большой разброс значений дополнительного радиального движения — от 0 до 40 км/с [1, 8, 10, 13].

Кроме указаний на необходимость введения дополнительного радиального движения в некоторых работах [7, 11] предлагается учесть движение МСО в азимутальном направлении. Что касается дополнительного радиального движения, то в недавних исследованиях кинематики диффузных туманностей [1] и молекулярных облаков CO [7] оно не было выявлено.

Отметим, что в подобных исследованиях обычно рассматривается усредненное движение выборки галактических объектов без учета систематических некруговых движений. Так как компоненты лучевых скоростей таких движений могут быть сопоставимы с компонентами

круговых скоростей в определенных галактических направлениях, то их следует учитывать при точных анализах данной задачи.

В настоящей работе предлагается способ определения дополнительного радиального движения МСО по анализу кругового движения близлежащих галактических объектов, который позволяет учесть крупномасштабные радиальные движения [4]. Вначале рассматривается

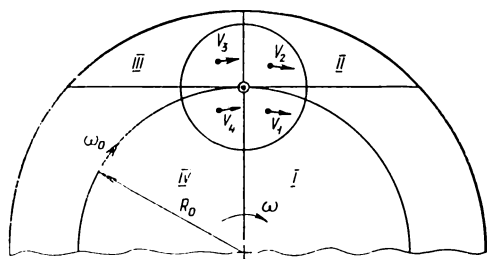
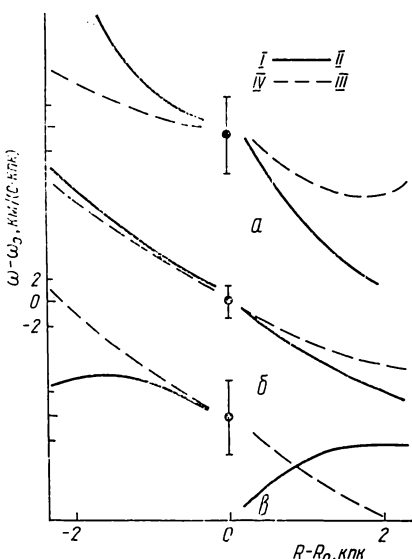


Рис. 1. Схема кругового вращения Галактики и расположение галактических квадрантов

►  
Рис. 2. Кривые вращения для системы пробных частиц в четырех квадрантах при различных значениях радиального движения  $\Pi_0$  системы отсчета, связанной с наблюдателем: а —  $\Pi_0=6$  км/с и направлена к центру вращения; б —  $\Pi_0=0$ ; в —  $\Pi_0=6$  км/с и направлена от центра вращения



моделирование движения частиц, вращающихся относительно общего центра, а затем приводятся результаты исследования движения молекулярных облаков, наблюдаемых в линиях поглощения молекулы гидроксила на частотах 1665 и 1667 МГц для двух видов движения: чисто кругового и кругового совместно с радиальным движением.

**Модель. Постановка задачи.** Определение движения системы отсчета, в которой находится наблюдатель, в простейшем случае заключается в измерении скоростей движения этой системы относительно другой инерциальной системы, либо относительно объектов с известным движением в инерциальной системе отсчета. Рассмотрим второй случай, когда система отсчета участвует в круговом движении совместно с близлежащими объектами относительно общего центра вращения.

В случае кругового движения объекты, располагающиеся на одинаковых расстояниях от центра вращения, должны вращаться с одинаковыми скоростями (рис. 1):  $V_1(R_1)=V_4(R_4)$  и  $V_2(R_2)=V_3(R_3)$ , где  $R_1=R_4$  и  $R_2=R_3$ . Это условие должно выполняться в случае кругового вращения и для нашей Галактики. В действительности кривые вращения в I и IV галактических квадрантах, определенные по лучевым скоростям в системе LSR, различаются между собой [3, 5, 10]. Эти различия могут быть устранены при учете дополнительного радиального движения МСО [10]. Такую зависимость кривых вращения от дополнительного движения системы отсчета можно использовать для выявления этого искомого движения.

Сначала мы выполнили моделирование движения системы частиц, вращающихся относительно общего центра совместно с системой отсчета. Помимо вращения системе отсчета задавалось дополнительное радиальное движение по прямой, соединяющей наблюдателя с центром вращения.

Движение частиц в системе отсчета, располагающейся от центра вращения на расстоянии  $R_0$  и вращающейся относительно него с угловой

скоростью  $\omega_0$ , наблюдается как движение по лучу зрения со скоростью

$$V_r = R_0 [\omega(R) - \omega_0] \sin l, \quad (1)$$

где  $\omega(R)$  — угловая скорость вращения системы на расстоянии  $R_0$  от центра вращения;  $l$  — долгота частицы.

В результате дополнительного радиального движения системы отсчета со скоростью  $\Pi_0$  в направлении центра вращения лучевые скорости частиц изменятся на величину  $\Pi_0 \cos l$ . При такой добавке угловая скорость  $\omega(R)$  станет равной  $\tilde{\omega}(R)$ :

$$\tilde{\omega}(R) = \omega_0 + (V_r - \Pi_0 \cos l) / (R_0 \sin l). \quad (2)$$

Движение систем частиц в каждом квадранте опишем кривыми вращения  $\tilde{\omega}_{pi}$  ( $i=1, 2, 3, 4$ ), которые определим путем сглаживания значений  $\tilde{\omega}(R)$  полиномами второй степени. Для количественной характеристики расхождения кривых вращения, которое вызвано дополнительным радиальным движением системы отсчета, введем величину

$$\Delta\omega = \sqrt{\left\{ \sum_1^n [\tilde{\omega}_{p1}(R_1) - \tilde{\omega}_{p4}(R_4)]^2 + \sum_1^n [\tilde{\omega}_{p2}(R_2) - \tilde{\omega}_{p3}(R_3)]^2 \right\} / (2n)}. \quad (3)$$

Здесь разности между угловыми скоростями кривых вращения  $\tilde{\omega}_{pi}$  берутся на одинаковых расстояниях от центра ( $R_1=R_4$  и  $R_2=R_3$ ) в  $n$  точках.

Вычисление функций  $\tilde{\omega}_{pi}$  при различных значениях  $\Pi_0$  позволяет изучить влияние радиального движения системы отсчета на соответствующее поведение кривых вращения, что можно использовать для решения обратной задачи — нахождения искомого значения  $\Pi_0$  по поведению кривых вращения.

**Результаты моделирования.** Рассмотрено 140 частиц в круге радиусом 2 кпк с центром у наблюдателя. Угловые скорости частиц задавались согласно кривой вращения  $\omega(R)$  Галактики [9]. Для приближения модели к наблюдаемым галактическим объектам (расстояния до которых определяются с ошибками), участвующим в хаотических движениях, введем в лучевые скорости и расстояния от наблюдателя отклонения, распределенные по нормальному закону с дисперсиями соответственно  $\sigma_{v_r}$  и  $\sigma_r$ . Их значения задавались от 0 до 5 км/с и от 0 до 1 кпк. Значение  $R_0$  принималось равным 8.5 кпк [6]. В качестве исходного значения скорости  $\Pi_0$  радиального движения наблюдателя к центру вращения принято 6 км/с.

Результаты определения кривых вращения при трех значениях скорости радиального движения системы отсчета приведены на рис. 2: *a* — лучевые скорости частиц измерены в системе отсчета, движущейся к центру вращения со скоростью  $\Pi_0=6$  км/с; *б* — лучевые скорости исправлены с учетом первоначального радиального движения системы отсчета (случай неподвижной в радиальном направлении системы отсчета); *в* — лучевые скорости измерены в системе отсчета, движущейся со скоростью  $\Pi_0=6$  км/с от центра вращения (первоначальное радиальное движение к центру со скоростью 6 км/с исправлено дополнительным движением от центра со скоростью 12 км/с). Данные результаты получены при значениях  $\sigma_r=0.2$  кпк и  $\sigma_{v_r}=2$  км/с. Вертикальными отрезками обозначены расхождения  $\Delta\omega$  кривых вращения, которые определены по формуле (3) при  $n=20$ .

Как видно из рис. 2, *б*, кривые вращения в четырех квадрантах совпадают лишь в случае, когда лучевые скорости частиц измерены в системе отсчета, участвующей только в круговом движении. При наличии дополнительного радиального движения (рис. 2, *а*, *в*) кривые

вращения расходятся, и значение расхождения увеличивается при увеличении скорости радиального движения. Таким образом, по сходимости кривых вращения в окрестностях наблюдателя можно выявить наличие радиального движения системы отсчета, связанной с этим наблюдателем, и оценить его величину.

**Движение молекулярных облаков.** Применим изложенную схему выявления радиального движения системы отсчета к массиву молекулярных облаков, наблюдавшихся в линиях поглощения молекулы гидроксила на частотах 1665 и 1667 МГц [12]. Гелиоцентрические расстояния облаков определим по зависимости  $D = (\Delta v^2/T_A)^{1/3}$  от расстояния, где  $\Delta v$  и  $T_A$  — параметры линии поглощения OH [2, 3].

Из обзора [12], выполненного в диапазоне галактических долгот 337—270°, в окрестностях Солнца радиусом 2 кпк выявлено 164 облака, которые расположились по четырем галактическим квадрантам следующим образом:  $N_1/N_2/N_3/N_4 = 92/9/10/53$ . Сопоставление кривых вращения систем облаков мы выполнили для двух случаев: 1 — чисто кругового движения; 2 — кругового движения совместно с радиальными движениями облаков.

**Круговые движения.** Вначале исправим наблюдавшиеся лучевые скорости молекулярных облаков  $\tilde{V}_r$ , приведенные в системе LSR, за дополнительное радиальное движение со скоростью  $\Pi_0$ . По новым лучевым скоростям определим угловые скорости облаков и кривые вращения  $\omega_{ri}$  в каждом квадранте, одновременно вычисляя значение  $\Delta\omega$ . Скорость  $\Pi_0$  направлена от центра Галактики (при противоположном направлении расхождение кривых вращения увеличивалось еще больше) и варьировалась с приращением 1 км/с от нулевого значения до тех пор, пока расхождение между кривыми достигало минимума и начинало затем снова увеличиваться.

Результаты вычислений для шести значений  $\Pi_0$ : 0, 3, 6, 9, 12 и 15 км/с приводятся на рис. 3. Вертикальными отрезками показаны расхождения  $\Delta\omega$  между кривыми. Как видно из рис. 3, при скорости радиального движения  $\Pi_0 = 9$  км/с кривые вращения молекулярных облаков в окрестностях Солнца лучше всего согласуются между собой. При этом расхождение имеет минимальное значение, равное 3.4 км/(с·кпк). В случае с  $\Pi_0 = 0$  (скорости вращения определены по лучевым скоростям, измеренным в системе LSR) расхождение составляет 7.3 км/(с·кпк).

Итак, если наблюдавшиеся лучевые скорости молекулярных облаков в галактической плоскости определяются одними круговыми движениями относительно галактического центра, то для согласования таких движений в окрестностях Солнца необходимо МСО (в дополнение к стандартному движению Солнца) приписать дополнительное движение в направлении к антицентру Галактики со скоростью  $\Pi_0 = 9$  км/с.

**Круговые и радиальные движения.** В некоторых направлениях в Галактике проекция скорости вращения на луч зрения сопоставима с проекцией на луч зрения радиальной скорости или даже меньше ее [9]. Это может внести ошибки в скорости вращения облаков гидроксила, определяемые в модели чисто кругового вращения, которые в нашей выборке неравномерно распределены по квадрантам. Поэтому важен учет их радиальных движений.

Для определения радиальных движений облаков воспользуемся методикой, предложенной в [4]. По этой методике радиальные движения  $\Pi(R)$  определяются по лучевым скоростям облаков, симметричных относительно линии, соединяющей центр Галактики и Солнце. Полученные при соответствующих значениях  $\Pi_0$ , которые, как и в предыдущем разделе, варьировались через 1 км/с, значения  $\Pi(R)$  сглаживались сплайном, и сглаженные радиальные скорости учитывались в лучевых скоростях. По остаточным лучевым скоростям, которые пред-

ставляют собой проекции только круговых движений, определялись кривые вращения в четырех галактических квадрантах и вычислялась величина  $\Delta\omega$ .

На рис. 4 приведены результаты вычислений с учетом радиальных движений для шести значений скорости  $\Pi_0$ : 0, 2, 4, 6, 8 и 10 км/с. Из этого рисунка видно, что наилучшее согласие скоростей вращения в

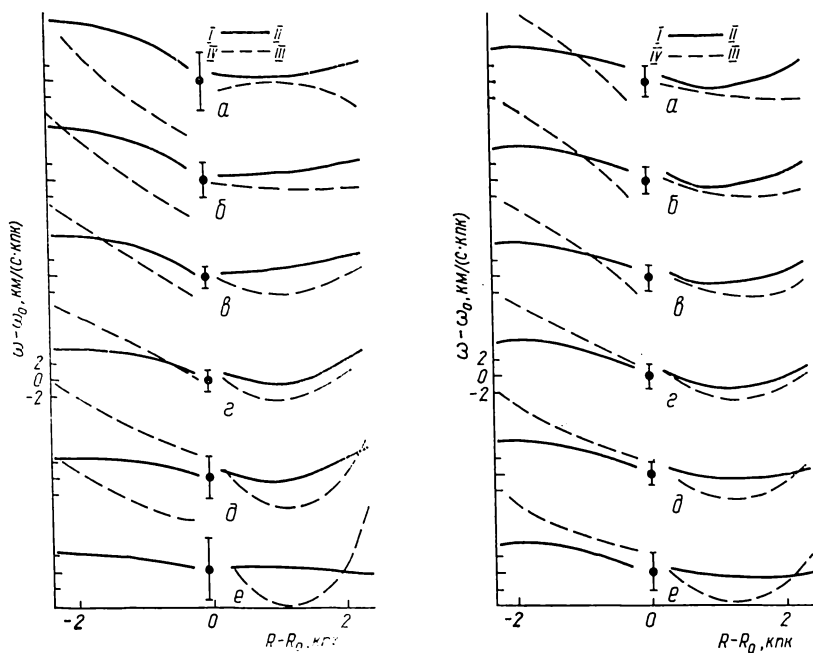


Рис. 3. Кривые вращения системы молекулярных облаков в четырех галактических квадрантах в схеме чисто кругового вращения при различных значениях радиального движения МСО, направленного к антицентру Галактики (в км/с): а — 0; б — 3; в — 6; г — 9; д — 12; е — 15

Рис. 4. Кривые вращения системы молекулярных облаков в четырех галактических квадрантах в схеме кругового вращения с учетом радиальных движений при различных значениях радиального движения МСО, направленного к антицентру Галактики (в км/с): а — 0; б — 2; в — 4; г — 6; д — 8; е — 10

соответствующих квадрантах и минимальное расхождение между кривыми наблюдается при  $\Pi_0 = 6$  км/с. Соответствующее значение  $\Delta\omega$  несколько меньше, чем при учете одних круговых движений, и составляет 3.1 км/с.

Таким образом, учет радиальных движений, в которых участвуют молекулярные облака, приводит к меньшему значению дополнительной радиальной скорости МСО по сравнению со случаем, когда рассматриваются одни радиальные движения.

**Обсуждение результатов.** Предложенная методика определения дополнительного радиального движения МСО, в которой используется неразрывность кривых вращения различных галактических секторов в окрестностях Солнца, применена к движению молекулярных облаков гидроксила. В отличие от других исследований в ней учитываются как скорости вращения относительно общего центра, так и конкретный вид систематических радиальных движений.

Получено, что в случае пренебрежения радиальными движениями неразрывность кривых вращения требует введения дополнительного радиального движения МСО к антицентру Галактики со скоростью 9 км/с. Это значение близко к скорости 10 км/с, найденной из анализа радиального движения молодых объектов диска относительно старых

объектов диска Галактики [13], в котором также не учитывался конкретный ход радиальных движений.

В результате учета радиальных движений облаков дополнительная скорость МСО уменьшилась до 6 км/с и приблизилась к значению 7 км/с, которое получено [10] из сравнения тангенциальных лучевых скоростей нейтрального водорода в I и IV квадрантах. Исследование [10] тангенциальных областей способствовало отделению радиальных движений, что, очевидно, обусловило сходство с нашим результатом.

Оценим точность определения  $\Pi_0$  по дисперсии скоростей молекулярных облаков, которая находится после вычитания составляющих скоростей кругового и радиального движений и равна  $\sigma_v = 13.6$  км/с. Тогда ошибка  $\Delta\Pi_0 = \sigma_v / (\sqrt{N} t_{\alpha/2; N})$ , где  $N$  — число облаков;  $t_{\alpha/2; N}$  — коэффициент Стьюдента. При уровне значимости  $\alpha = 0.05$  ошибка  $\Delta\Pi_0 = 2.1$  км/с. Таким образом,  $\Pi_0 = 6 \pm 2$  км/с.

Дополнительное радиальное движение местной системы отсчета, выявленное по облакам гидроксила и по другим галактическим системам, следует учитывать при кинематических исследованиях Галактики. Отметим, что изложенная методика может также применяться к другим галактическим объектам: звездам с малой дисперсией скоростей, областям Н II и др.

Автор благодарен И. Г. Колеснику за обсуждение результатов работы и И. П. Веденичевой за помощь в организации вычислений.

1. Аведисова В. С. Спиральная структура Галактики в окрестностях Солнца по диффузным туманностям // Письма в Астрон. журн.— 1985.— 11, № 6.— С. 448—454.
2. Колесник И. Г., Юрьевич Л. В. Определение расстояний до межзвездных облаков по линиям поглощения OH // Астрофизика.— 1983.— 19, вып. 4.— С. 761—777.
3. Колесник И. Г., Юрьевич Л. В. Кривая вращения Галактики по наблюдениям гидроксила // Там же.— 1985.— 22, вып. 3.— С. 461—472.
4. Колесник И. Г., Юрьевич Л. В. Радиальные движения в Галактике // Кинематика и физика небес. тел.— 1987.— 3, № 3.— С. 72—75.
5. Петровская И. В. Кривая вращения подсистемы нейтрального водорода в Галактике // Письма в Астрон. журн.— 1979.— 5, № 12.— С. 632—635.
6. Юрьевич Л. В. Определение расстояния Солнца от центра Галактики по кривой вращения // Астрофизика.— 1985.— 23, вып. 2.— С. 265—275.
7. Clemens D. P. Massachusetts—Stony Brook galactic plane CO survey: the galactic disk rotation curve // Astrophys. J.— 1985.— 295, N 2.— P. 422—436.
8. Clube S. V. M. Does our Galaxy have a violent history? // Vistas Astron.— 1978.— 22.— P. 77—118.
9. Haud U. Rotation curve of our Galaxy for  $R > R_0$  // Astrophys. and Space Sci.— 1984.— 104, N 4.— P. 337—345.
10. Kerr F. J. Galactic velocity models and the interpretation of 21 cm surveys // Mon. Notic. Roy. Astron. Soc.— 1962.— 123, N 4.— P. 327—345.
11. Shuter W. L. H. A rotation standard of rest // Ibid.— 1982.— 199, N 2.— P. 109—113.
12. Turner B. E. A survey of OH near the galactic plane // Astron. and Astrophys. Suppl. Ser.— 1979.— 37, N 1.— P. 1—332.
13. Upgren A. R. The motions of K and M dwarf stars of different ages // Astron. J.— 1978.— 83, N 6.— P. 626—635.

Глав. астрон. обсерватория АН УССР,  
Киев

Поступила в редакцию 24.04.87,  
после доработки 01.02.88